

京都大学工学部 正員 工博 小西一郎
 京都大学工学部 正員 工博 白石成人
 京都大学工学部 正員 工修 坪倉英彦
 京都大学大学院 学生員 辻 勝成

I. まえがき

フリ橋に作用する定常空気力に関する研究は翼に対して Theodorsen が導いた空気力を適用した F. Bleich の理論をはじめとして色々な提案がなされてゐる。最近 R.H. Scanlan 及び A. Sabzevari⁽¹⁾⁽²⁾ がフラッター時の空気力を鉛直変位 h の時間微分 \dot{h} と回転変位 α 及びその時間微分 $\dot{\alpha}$ の一次結合として仮定しそれらにかかる空力係数を断面模型による風洞実験より定める試みが行なわれた。

筆者らはこの空気力測定における自由振動法に着目して、種々の断面形状の吊橋断面模型について空力係数を定め、これらの耐風安定性に及ぼす影響について検討しようとするものである。

実験は現在続行中であり、一応現在までに得られた結果を報告する。

II. 運動方程式及び空力係数

図-1 のような系に対する運動方程式は

$$\ddot{h} + 2\zeta_{r_0}\omega_0\dot{h} + \omega_0^2 h = H_1\dot{h} + H_2\dot{\alpha} + H_3\alpha = L/m$$

$$\ddot{\alpha} + 2\zeta_{r_0}\omega_0\dot{\alpha} + \omega_0^2 \alpha = A_1\dot{h} + A_2\dot{\alpha} + A_3\alpha = M/I_p$$

ここで

ω_0 : 固有振動数 ζ_{r_0} : 減衰比 ($r = h, \alpha$)

H_i, A_i : 空力係数 m, I_p : 単位長さ当たりの質量及び質量慣性モーメント

H_i, A_i はそれぞれ次式より定められる。

$$H_1 = 2\zeta_{r_0}\omega_0 - \frac{\sigma_1}{\omega}$$

$$H_2 = \frac{1}{\omega} \left(\frac{h_0}{\alpha_0} \right) [(\omega_0^2 - \omega^2) \sin\theta + (2\zeta_{r_0}\omega_0 - H_1)\omega \cos\theta]$$

$$H_3 = \left(\frac{h_0}{\alpha_0} \right) [(\omega_0^2 - \omega^2) \cos\theta - (2\zeta_{r_0}\omega_0 - H_1)\omega \sin\theta]$$

$$A_1 = \frac{1}{\omega} \left(\frac{\alpha_0}{h_0} \right) [(\omega^2 - \omega_0^2 + A_3) \sin\theta + (2\zeta_{r_0}\omega_0 - A_2)\omega \cos\theta]$$

$$A_2 = 2\zeta_{r_0}\omega_0 - \frac{\sigma_2}{\omega}$$

$$A_3 = \omega_0^2 - \left\{ 1 + 4 \left(\frac{\sigma_2}{\omega} \right)^2 \right\} \omega^2$$

ここで

ω_r, ζ_r ($r = h, \alpha$) : 1自由度の場合の振動数及び対称減衰率

ω : 2自由度の場合のフラッター振動数

h_0, α_0 : 2自由度の場合の鉛直及びおじれの定常振幅

θ : 鉛直振動とおじれ振動の位相差

$$\theta = \tan^{-1} \frac{\omega^2 - \omega_0^2 + A_3}{(2\zeta_{r_0}\omega_0 - A_2)\omega}$$

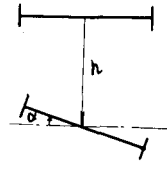


図-1

H_1, A_1 は実験によって定められるものであるが、翼に対しては Theodorsen によって理論的に表わされている。

$$\begin{aligned}
 H_1^* &= \frac{m}{\rho b^2 \omega} H_1 = -\frac{2\alpha}{k} \sqrt{F^2(k) + G^2(k)} & A_1^* &= \frac{I_p}{\rho b^2 \omega} A_1 = \frac{\pi}{k} \sqrt{F^2(k) + G^2(k)} \\
 H_2^* &= \frac{m}{\rho b^2 \omega} H_2 = -\frac{\pi}{k} [1 + \sqrt{F^2(k) + G^2(k)}] & A_2^* &= \frac{I_p}{\rho b^2 \omega} A_2 = -\frac{\pi}{2k} [1 - \sqrt{F^2(k) + G^2(k)}] \\
 H_3^* &= \frac{m}{\rho b^2 \omega} H_3 = -\frac{2\alpha}{k^2} \sqrt{F^2(k) + G^2(k)} & A_3^* &= \frac{I_p}{\rho b^2 \omega} A_3 = \frac{\pi}{k^2} \sqrt{F^2(k) + G^2(k)}
 \end{aligned}$$

ここで

ρ : 空気密度 z_b : 幅員 k : 換算振動数 ($= \omega V/c$)
 H_i^*, A_i^* はそれぞれ無次元化した空力係数を表わす。

III. 実験的検討

実験は吸込式 NPL 型風洞によって各部分模型に対して、鉛直自由度、わじれ自由度及び自由度の状態での振動を測定した。

(A) 実験装置

模型は上下8本の Spring で支持し、鉛直自由度の場合は模型の後端よりビーム線張りわじれ振動を拘束した。変位は板バネにはりつけたストレン・ゲージにより検出した。

(B) 模型

$l = 94 \text{ cm}$, $z_b = 30 \text{ cm}$ の部分模型で、床面は円床及び円床のもので、それぞれにトラス、プレート型式の Web-plate を取り付けられる。現在までに解析を行なった模型の諸元を表-1 に示す。但しこれらの値は模型のみでなく一緒に振動する付属物も加えたものである。

表-1 模型諸元

Model	m (kg sec ² /m)	I _p (kg sec ² m ²)	
		F _b = 15 cm	F _b = 25 cm
Plate	0.730	2.814×10^{-2}	2.973×10^{-2}
DP170F30	0.850	2.951×10^{-2}	3.111×10^{-2}

模型記号 D...円床 P170...桁高170mmのプレート
 F30...幅30mmのフレンジ

(C) 実験結果及び考察

実験結果を表-2, 図-2, 図-3 に示す。Plate, DP170F30 の模型とも Spring 間隔 15 cm ($\omega_{h0}/\omega_{h0} \approx 1.01$) では曲げわじりフラッターの振動が観察され、Spring 間隔 25 cm ($\omega_{h0}/\omega_{h0} \approx 1.40$) ではわじれ振動が支配的であった。

表-2 固有振動数及び対数減衰率

Model	Plate		DP170F30	
	15	25	15	25
ω_{h0}	9.01	8.94	8.30	8.31
δ_{h0}	0.0184	0.0172	0.0227	0.0127
ω_{a0}	9.11	12.62	8.48	11.61
δ_{a0}	0.0411	0.0311	0.0343	0.0256

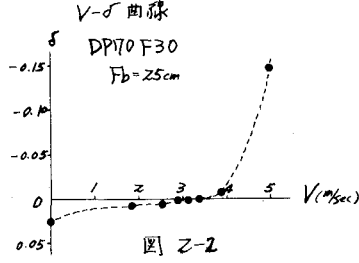
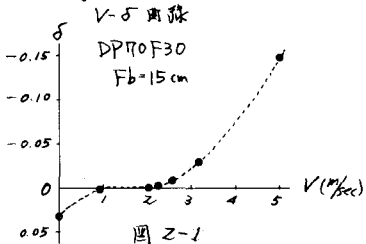
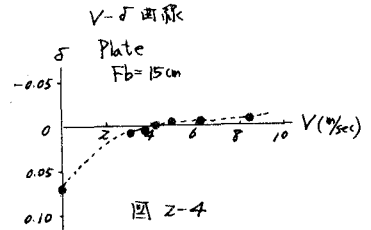
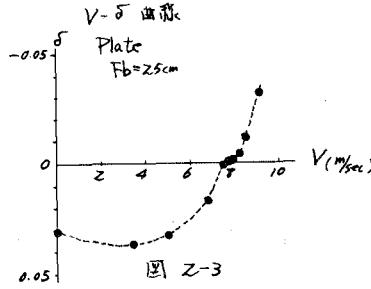


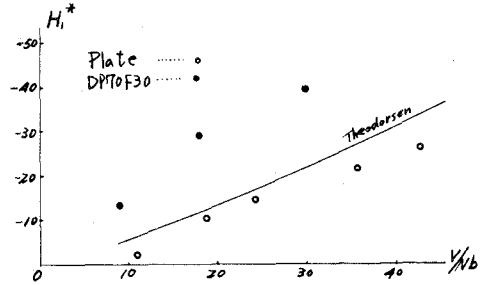
図2で示される空力係数 H_1^* ,

A_2^* について考察を加えると

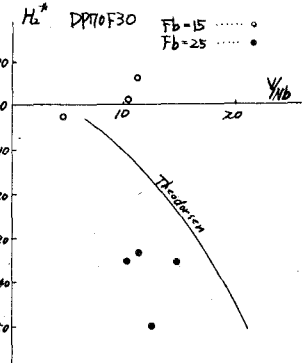
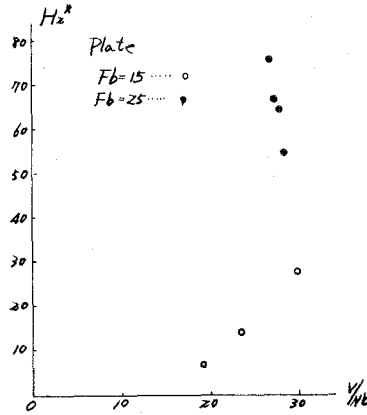
1. H_1^* : Plate, DP70F30
のいずれの断面形状とも
傾向としては似ているが
値はPlateがDP70F30
の約1/2である。



2. H_2^* , H_3^* : 断面形状による違いより、
振動数比 (u_0/ω_0) による違いが大きい。
3. A_1^* : 振動数比による影響は値としては
あまり変わらないが傾向は違っている。
又断面形状による違いが明確である。
4. A_2^* : 振動数比による影響はほとんど
ないが、断面形状による違いは符号が逆転
して大きく違っている。



5. A_3^* : 断面形状による違
いはほとんどないが振動数
比によって値が違うときも
に模型による振動数比の影
響が反対の傾向として現わ
れている。



鉛直振動とわじり振動が相互に
及ぼす影響について考えてみる
と、

1. 鉛直振動がわじり振動に
及ぼす影響は振動数比に関
してはそれほど変わらない
が断面形状によって大きく
変化する。
2. わじり振動が鉛直振動に
及ぼす影響は断面形状によ
ってはそれほど変わらない
が振動数比によって大きく
変化する。

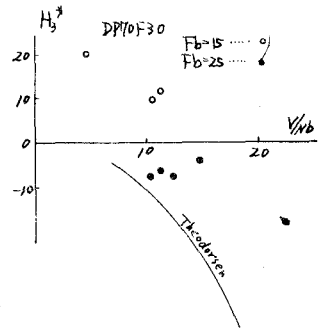
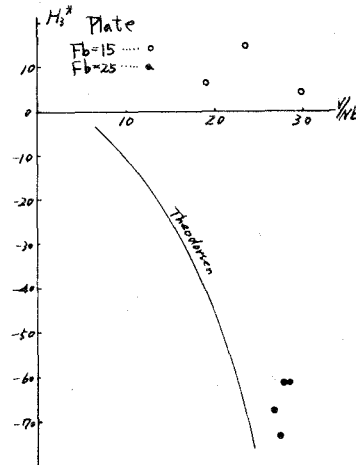
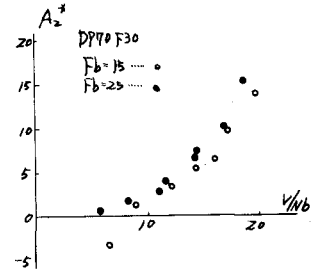
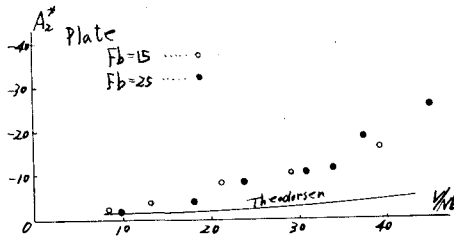
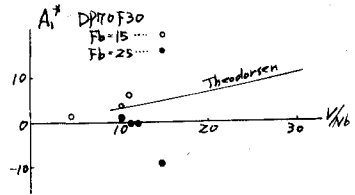
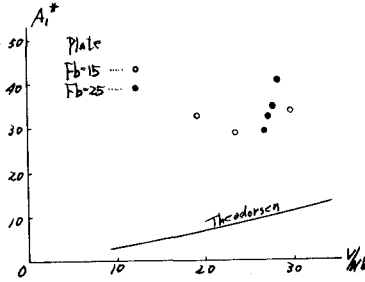


図 2-3-1

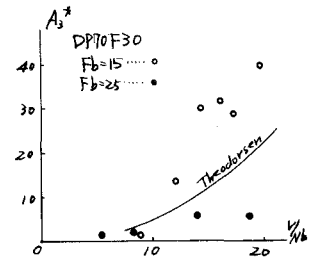
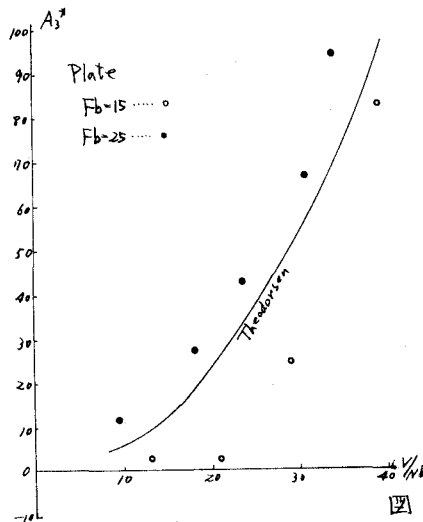
次にPlateの実験結果と
Theodorsen関数による値
を比較してみると

1. H_1^* , A_3^* , H_3^* ($F_b = 25cm$)はほぼ理論値に
近い。
2. A_1^* , A_2^* は傾向的
には似ているが値は
相当はなれている。
3. H_2^* , H_3^* ($F_b = 15cm$)
は全くかけはなれて
いる。



IV. あとがき

断面形状 (d/b , S/b ,
補剛形式 etc) が H_c , A_c
に及ぼす影響については
再調査検討及び H_c , A_c
自身の値が耐風安定性
に及ぼす影響については
当日発表する。



参考文献

- (1) R.H. Scanlan and Ali. Sabzevari "Suspension Bridge Flutter Revisited"
A.S.C.E. Structural Engineering Conference / Seattle, Washington May 8-12, 1987
- (2) Ali. Sabzevari and R.H. Scanlan "Aerodynamic Instability of Suspension Bridges"
Proc. of A.S.C.E. April 1988. Jour. of E.M. Division

図 3-2